

## Литература

- [1] Шмикк Д. В. Автореф. канд. дис. Л., ФТИ АН СССР, 1974.
- [2] Тучекевич В. М. Вестник АН СССР, 1985, № 5, с. 59—61.
- [3] Мамырин Б. А. Вестник АН СССР, 1985, № 5, с. 62—66.
- [4] Шмикк Д. В. ЖТФ, 1981, т. 51, № 5, с. 1024—1026.
- [5] Шмикк Д. В., Дубенский Б. М. А. с. 1241303. — Опубл. в Б. И., 1986, № 24.
- [6] Мамырин Б. А. Автореф. докт. дис. Л., ФТИ АН СССР, 1966.
- [7] Шмикк Д. В., Дубенский Б. М. ЖТФ, 1984, т. 54, № 5, с. 912—916.
- [8] Быковский Ю. А., Неволин В. Н. Лазерная масс-спектрометрия. М.: Энергоиздат, 1985.

Физико-технический институт  
им. А. Ф. Иоффе АН СССР  
Ленинград

Поступило в Редакцию  
8 июня 1987 г.

УДК 534.231.1

Журнал технической физики, т. 53, в. 5, 1988

### ЗАТУХАНИЕ ВЫСОКОЧАСТОТНЫХ АКУСТИЧЕСКИХ ВОЛН В КРИСТАЛЛАХ СИЛИКАТА ВИСМУТА

*M. M. Ахмеджанова, Ф. Р. Ахмеджанов, В. В. Леманов, А. А. Петров*

Кристаллы силиката висмута  $\text{Bi}_{12}\text{SiO}_{20}$  (точечная группа 23) представляют большой научный и практический интерес благодаря своим оптическим и акустическим свойствам.

Действительные компоненты тензора упругих постоянных для этих кристаллов измерялись в ряде работ (см., например, [1]). Что касается мнимых компонент, описывающих затухание акустических волн, то они практически не исследовались. В настоящей работе поставлена задача детального изучения комплексного тензора упругих постоянных  $c_{iklm} = c'_{iklm} + i c''_{iklm}$  кристаллов  $\text{Bi}_{12}\text{SiO}_{20}$  при комнатной температуре. Измерения проводились в частотном диапазоне 0.3—1.6 ГГц с помощью брэгговской дифракции света на звуке.

Кристаллы  $\text{Bi}_{12}\text{SiO}_{20}$  выращивались методом Чохральского на установке Донец-1. В качестве исходных материалов использовались  $\text{Bi}_2\text{O}_3$  и  $\text{SiO}_2$  квалификации ОСЧ. Полученные кристаллы имели желтую окраску и не содержали видимых дефектов [2].

Исследованные образцы имели средние размеры  $10 \times 5 \times 5$  мм. Акустические волны распространялись вдоль направлений [100], [110] и [111]. Точность ориентации образцов составляла около  $1^\circ$ . Продольные и поперечные акустические волны возбуждались пьезопреобразователями из кварца соответственно X- или Y-реза толщиной 70—100 мкм. В качестве источника света использовался гелий-неоновый лазер ЛГ-38. Коэффициент затухания акустических волн определялся по изменению интенсивности дифрагированного света  $I(x)$  в разных точках образца вдоль направления распространения акустической волны

$$\alpha = \frac{10 \lg (I(x_1)/I(x_2))}{\Delta t},$$

где  $\Delta t$  — время распространения волны от точки  $x_1$  к точке  $x_2$ . Точность определения коэффициента затухания составляла около 5 %.

Результаты измерений на частоте 1 ГГц представлены на рис. 1 и в таблице. Скорости акустических волн определялись на частотах от 0.3 до 1.6 ГГц по углу брэгговской дифракции с точностью 0.5 % и методом оптического гетеродинирования на частоте 10 МГц с точностью 0.1 % [3]. Полученные значения скоростей совпадают в пределах 0.5 %.

Расчет величин  $c'_{\text{эфф}}$  и  $c''_{\text{эфф}}$  для волны с волновым вектором  $\mathbf{q}$  и вектором поляризации  $\gamma$  проводился на основе измеренных значений  $v$  и  $\alpha$  по формулам

$$c'_{\text{эфф}} = \rho v^2, \quad c''_{\text{эфф}} = 2c'_{\text{эфф}} \frac{\alpha}{\Omega},$$

где  $\rho$  — плотность,  $\Omega$  — круговая частота акустической волны.

Независимые компоненты тензора  $c_{ijklm}$  определялись из данных по скорости и затуханию пьезоактивных продольных и поперечных волн вдоль [100] и быстрых поперечных волн вдоль [110] с помощью соотношений

$$\rho v_L^2 = c'_{11}, \quad \alpha = (c''_{11} + 2c'_{11}) \Omega,$$

$$\rho v_S^2 = c'_{44}, \quad \alpha = (c''_{44} + 2c'_{44}) \Omega,$$

$$\rho v_S^2 = (c'_{11} - c'_{12})/2,$$

$$\alpha = ((c''_{11} - c''_{12})/2) (c'_{11} - c'_{21}) \Omega.$$

Полученные таким образом действительные и мнимые компоненты тензора упругих

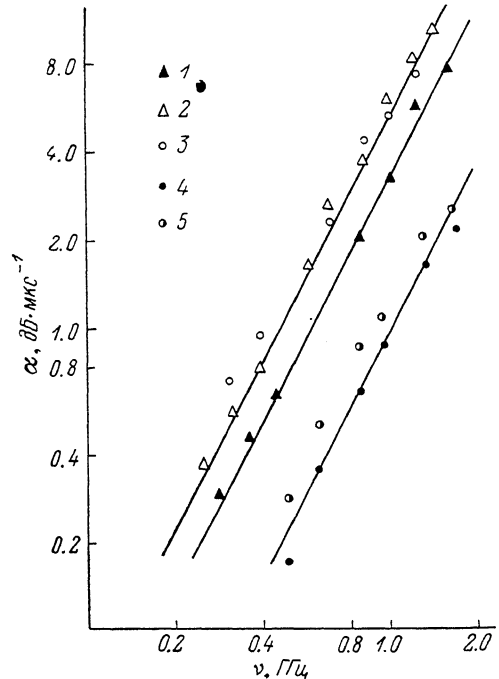


Рис. 1. Частотная зависимость затухания.

1, 2, 3 — продольные волны вдоль [100], [110], [111] соответственно; 4, 5 — быстрые и медленные поперечные волны вдоль [110]. Сплошные прямые проведены в предположении, что затухание зависит от частоты по квадратичному закону.

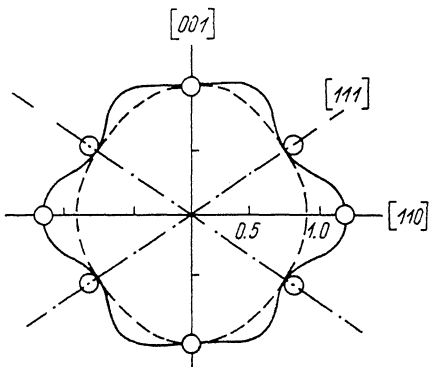


Рис. 2. Сечение поверхности акустического затухания плоскостью (110) для пьезоактивной медленной поперечной волны.

Сплошная и штриховая кривые — расчет с учетом и без учета вклада диэлектрических потерь соответственно. Затухание выражено в дБ·мкс<sup>-1</sup>, частота 1 ГГц.

постоянных в единицах  $10^{11}$  и  $10^7$  Н·м<sup>-2</sup> соответственно (мнимые компоненты определены для частоты 1 ГГц):

$c'_{11}$	$c'_{12}$	$c'_{44}$	$c''_{11}$	$c''_{12}$	$c''_{44}$
1.31	0.31	0.245	1.54	1.23	0.09

Для продольных  $L$  волн вдоль [111] и медленных поперечных  $S$  волн вдоль [110] с поляризацией по [001], которые являются пьезоактивными, необходимо учитывать вклад диэлектрических потерь [4]. Тогда для этих волн получаем

$$c''_{\text{эфф}}(L) = \frac{1}{3} (c''_{11} + 2c''_{12} + 4c''_{44}) + \frac{4}{3} \frac{\epsilon_{14}^2}{\epsilon_0 \epsilon} \operatorname{tg} \delta,$$

$$c''_{\text{эфф}}(S) = c''_{44} + \frac{\epsilon_{14}^2}{\epsilon_0 \epsilon} \operatorname{tg} \delta,$$

где  $\epsilon_{14}$  — пьезоэлектрический коэффициент,  $\epsilon$  — диэлектрическая проницаемость,  $\operatorname{tg} \delta$  — тангенс угла диэлектрических потерь.

Из сравнения данных по скорости и затуханию пьезоактивных волн и значений  $c'_{ijklm}$  и  $c''_{ijklm}$ , приведенных выше, при  $\epsilon=40$  получаем  $\epsilon_{14}=1.2$  Кл·м<sup>-2</sup>,  $\operatorname{tg} \delta \approx 10^{-4}$ , а коэффициент

электромеханической связи оказывается равным  $K=0.24$  для продольных волн вдоль [111] и  $K=0.41$  для поперечных волн вдоль [110].

Вклад диэлектрических потерь в затухание оказывается наиболее значительным для пьезоактивных поперечных волн вдоль [110] и составляет около 30 %, в то время как для продольных волн вдоль [111] этот вклад не превышает 5 %. В качестве примера на рис. 2 приведено сечение поверхности затухания плоскостью (110) для пьезоактивной медленной поперечной волны. Из этого рисунка видно, что экспериментальные результаты можно объяснить только с учетом вклада диэлектрических потерь.

### Литература

- [1] Rehwald W. J. Appl. Phys., 1973, v. 44, N 7, p. 3017—3021.
- [2] Петров А. А., Доливо-Добровольская Г. И., Жданова В. В., Афанасьев Ю. Б.  
Изв. АН СССР, Сер. неорг. материалы, 1984, т. 20, № 2, с. 266—270.
- [3] Струков Б. А., Спиридонов Т. П., Минаева К. А. ПТЭ, 1980, № 6, с. 154—156
- [4] Шапошников И. Г. ЖЭТФ, 1941, т. 11, № 2—3, с. 332—339.

Самаркандский государственный  
университет им. А. Навои

Поступило в Редакцию  
6 июля 1987 г.